

Per il progetto è stato scelto il problema benchmark **IFAC #90-10 "Regulation of a ship's heading"**, in cui viene chiesto di progettare un controllore per la regolazione dell'angolo di rotta di una nave.

Nel seguente progetto vengono proposte due soluzioni di controllori  $H_\infty$  per il sistema incerto in esame, utilizzando il comando `hinfsyn`, del Robust Control Toolbox, con conseguente  $\mu$ -analysis per stimare la stabilità robusta del sistema incerto.

Sono state considerate le seguenti specifiche:

- Nessuna sovraelongazione nella risposta  $y$  del sistema;
- Stabilità robusta del sistema incerto;

Sono state ignorate le richieste (b) e (c) originariamente proposte nel problema benchmark IFAC.

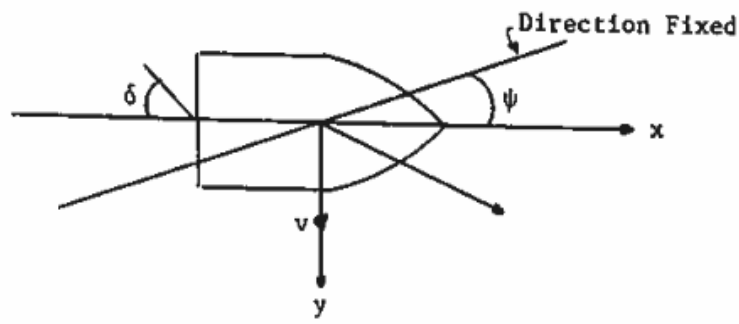


Figure 1: Notation used to describe ship's motion

It is desired to find a controller for the system to regulate the heading angle of the ship to a desired angle  $y_{ref}$ , such that the following constraints are satisfied:

(a) No overshoot occurs in the output response of  $y$ .

(b) The rudder motion is constrained:

$$\|u\| \leq 40^\circ$$

(c) The rate of rudder motion is constrained:

$$\|\dot{u}\| \leq 10^\circ/\text{sec}$$

The turning rate  $\dot{\psi}$  of the vessel may be measured, and used in the controller. The data for this problem is given in normalized units as follows:

length unit = length of ship

time unit = time required for ship to travel a ship's length

where the structure of  $A$ ,  $b$ ,  $c$  is given by:

$$A = \begin{pmatrix} a_{11} & a_{12} & 0 \\ a_{21} & a_{22} & 0 \\ 0 & 1 & 0 \end{pmatrix}, \quad b = \begin{pmatrix} b_1 \\ b_2 \\ 0 \end{pmatrix}, \quad c = (0 \ 0 \ 1)$$

Modello e Incertezze

Il problema propone 5 modelli, dei quali 3 sono stati utilizzati per lo sviluppo del progetto (*Tanker#1*, *Tanker#2*, *Tanker#3*), scegliendo il terzo modello come nominale e considerando gli altri due come bounds degli intervalli per i parametri incerti. Sono stati scelti 3 parametri incerti dei 6 totali proposti, i quali sono:  $a_{11}$ ,  $a_{21}$  e  $b_1$ .

Le equazioni per il modello linearizzato in spazio di stato sono:

$$\begin{aligned} \dot{x}_1 &= a_{11_u}x_1 + a_{12}x_2 + b_{1_u}u \\ \dot{x}_2 &= a_{21_u}x_1 + a_{22}x_2 + b_2u \\ \dot{x}_3 &= x_2 \\ y &= x_3 \end{aligned}$$

dove:

- $a_{11_u}$  è il parametro incerto  $a_{11} \in [-0.597, -0.298]$
- $a_{21_u}$  è il parametro incerto  $a_{21} \in [-4.37, -3.651]$
- $b_{1_u}$  è il parametro incerto  $b_1 \in [0.097, 0.116]$

Definizione Incertezze e Sistema

```
% Considero Tanker 3 come sistema nominale
clc; close all;

% Incertezze considerate: a_11 a_21 b1_u
a11_nom = -0.454;
a21_nom = -4.005;
b1_nom = 0.103 ;

a11_u = ureal('a11_u', a11_nom, 'Range', [-0.597, -0.298]);

a21_u = ureal('a21_u', a21_nom, 'Range', [-4.37, -3.651]);
b1_u = ureal('b1_u', b1_nom, 'Range', [0.097, 0.116]);

a12 = -0.433;
a22 = -0.807;
b2 = -0.807;
```

Sistema

```
A = [a11_u a12 0; a21_u a22 0; 0 1 0];

B = [b1_u b2 0]';

C = [0 0 1];
D = 0;

% modello di spazio di stato incerto
G_ss = ss(A, B, C, D);
disp("Sistema Nominale pazio di Stato: ")
```

Sistema Nominale pazio di Stato:

```
G0_ss = G_ss.NominalValue

G0_ss =

      A =

           x1           x2           x3
```

```
x1 -0.454 -0.433 0
x2 -4.005 -0.807 0
x3 0 1 0

B =
      u1
x1 0.103
x2 -0.807
x3 0

C =
      x1 x2 x3
y1 0 0 1

D =
      u1
y1 0

Continuous-time state-space model.
Model Properties

G_ss;

% f.d.t.
G_tf = tf(G_ss)

G_tf =

      -0.807 s - 0.7789
-----
s^3 + 1.261 s^2 - 1.368 s

Continuous-time transfer function.
Model Properties

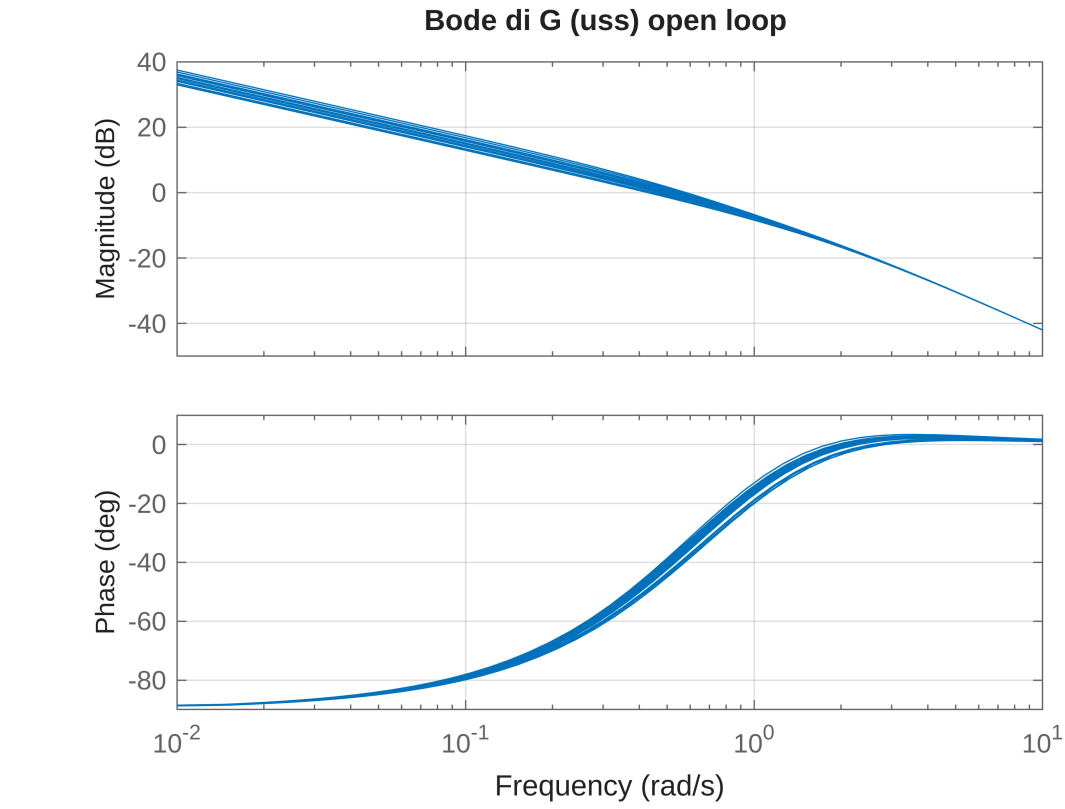
G0_tf = minreal(tf(G0_ss));
disp("I poli del sistema open loop sono: ")

I poli del sistema open loop sono:

disp(pole(G_tf))

0
-1.9592
0.6982

bode(G_ss)
grid on
title("Bode di G (uss) open loop ")
```

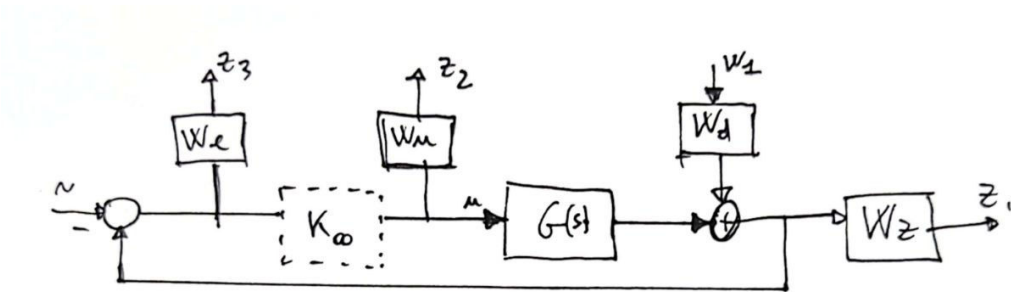


Forma TITO P1

$$P = \begin{bmatrix} W_z(s)W_d(s) & W_zG(s) \\ 0 & W_u(s) \\ -W_z(s)W_e(s) & -G(s)W_e(s) \\ -W_d(s) & -G(s) \end{bmatrix}$$

La forma TITO *P1* è stata ricavata a mano scegliendo i pesi:

- *Wz* per portare l'uscita di interesse *y* (= *z*) a zero
- *Wu* per cercare di limitare lo sforzo di controllo
- *Wd* per reiettare i disturbi in bassa frequenza
- *We* per limitare l'errore *y-r*



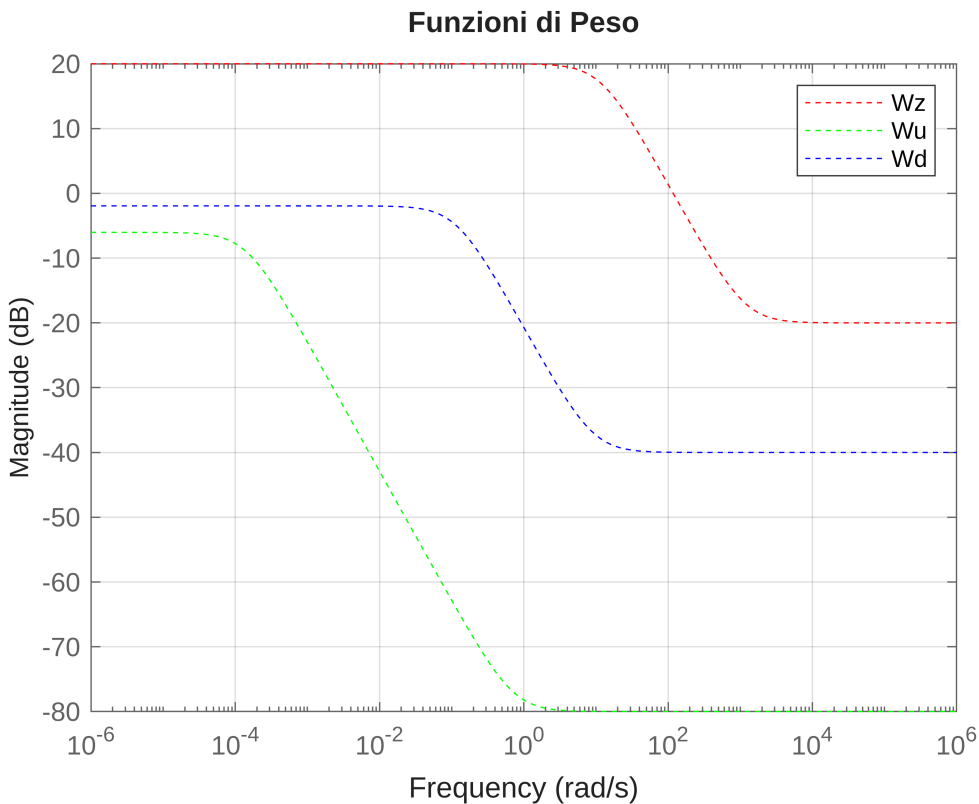
Scansionato con CamScanner

```
% Wu = makeweight(Wu_static, [10 Wu_static/10], Wu_static/1000);
% Wz = makeweight(20, 0.01, 0.01); VERI OG
% Wu = makeweight(1, [10 .1], Wu_static/1000);
% Wz = makeweight(50 ,[0.05 1],0.01);
% Wd = makeweight(50, [1 0.01], 0.001);
% We = makeweight(10, [1 1], 0);

Wu_static = 1 / (40 * pi / 180);
Wz = makeweight(10, [12 7], .1);
Wu = makeweight(.5, [0.005 Wu_static/100], 0.0001);
Wd = makeweight(0.8, [0.2 0.4], 0.01);
We = makeweight(1, [1 0.5], 0.1); % PESI PER OVERSHOOT 1.4 %

% Wn = makeweight(.1, [1,1], 10);
```

```
% PLOT PESI
bw1 = bodeplot(Wz,'r--', Wu, 'g--', Wd,'b--');
bw1.PhaseVisible = "off";
bw1.Title.String = "Funzioni di Peso";
bw1.Responses(1).Name = "Wz ";
bw1.Responses(2).Name = "Wu";
bw1.Responses(3).Name = "Wd";
bw1.LegendVisible = "on";
grid on
```



```
P = [Wz*Wd Wz*G0_tf;
      0 Wu;
      -Wd*We -G0_tf*We;
      -Wd -G0_tf]; % P per errore e
```

```
P = minreal(P);
```

```
10 states removed.
```

### CONTROLLORE $H_\infty$ (1)

Viene calcolato il controllore  $K_{inf}$  tramite l'apposito comando `hinfsyn` e si costruiscono il ciclo chiuso incerto e nominale

```
[Kinf, ~, gamInf]= hinfsyn(P, 1, 1);
gamInf
```

```
gamInf =
0.0161
```

```
Kinf=minreal(Kinf);
```

```
1 state removed.
```

```
disp("Il controllore Kinf risultante: ")
```

```
Il controllore Kinf risultante:
```

```
(ss(Kinf))

ans =

A =

      x1      x2      x3      x4      x5      x6
x1 -9.136e+04  5.406e+05 -4.296e+05 -3.294e+05  1.129e+07  3.653e+05
x2 -155      726.1    -531.5    -507.8    1.479e+04  496.3
x3 194.1     -1151    913.4    702.1    -2.403e+04 -777.7
x4 38.71     -229.5   191.2    129.7    -4922      -155
x5 -9.289     55.08   -43.8    -33.52   1150       37.21
x6 -2.03e+04  1.204e+05 -9.572e+04 -7.327e+04  2.514e+06  8.133e+04

B =

      u1
x1 4029
x2 -4682
x3 37.75
x4 -43.09
x5 3.544
x6 7258

C =

      x1      x2      x3      x4      x5      x6
y1 -4.826e+04  2.855e+05 -2.269e+05 -1.74e+05  5.961e+06  1.929e+05

D =

      u1
y1 0
```

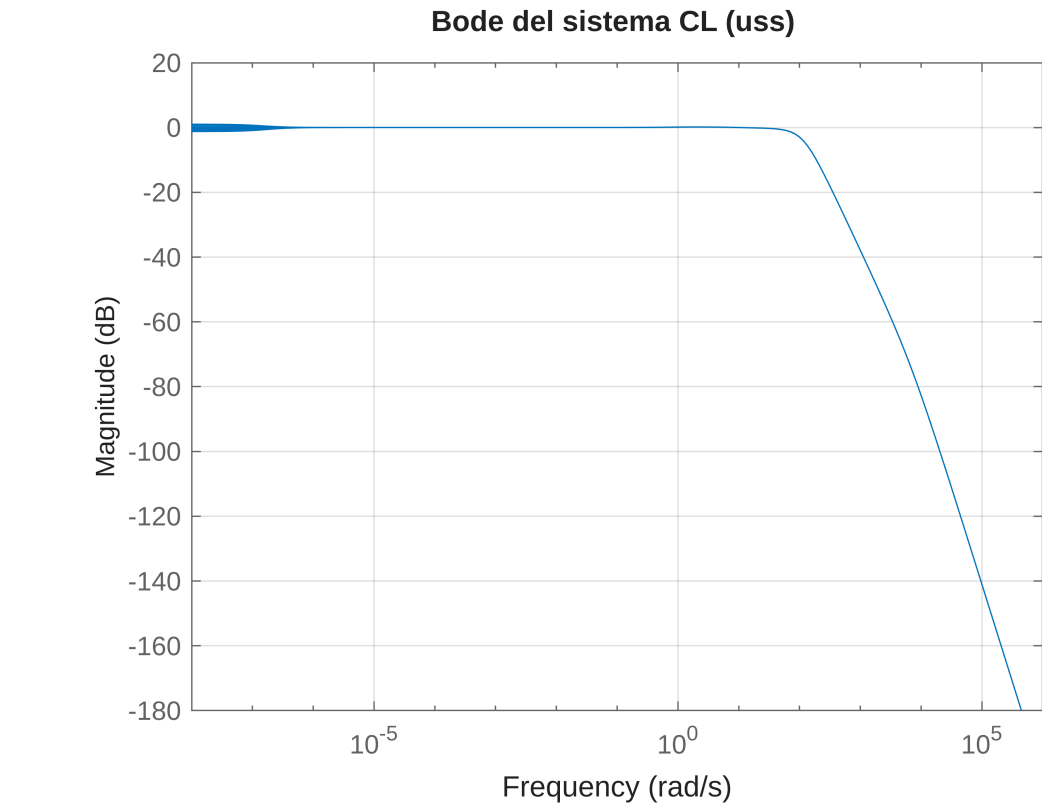
```
Continuous-time state-space model.
Model Properties
```

```
CL = minreal(feedback(G_ss * Kinf, 1));
CL0 = CL.NominalValue;
```

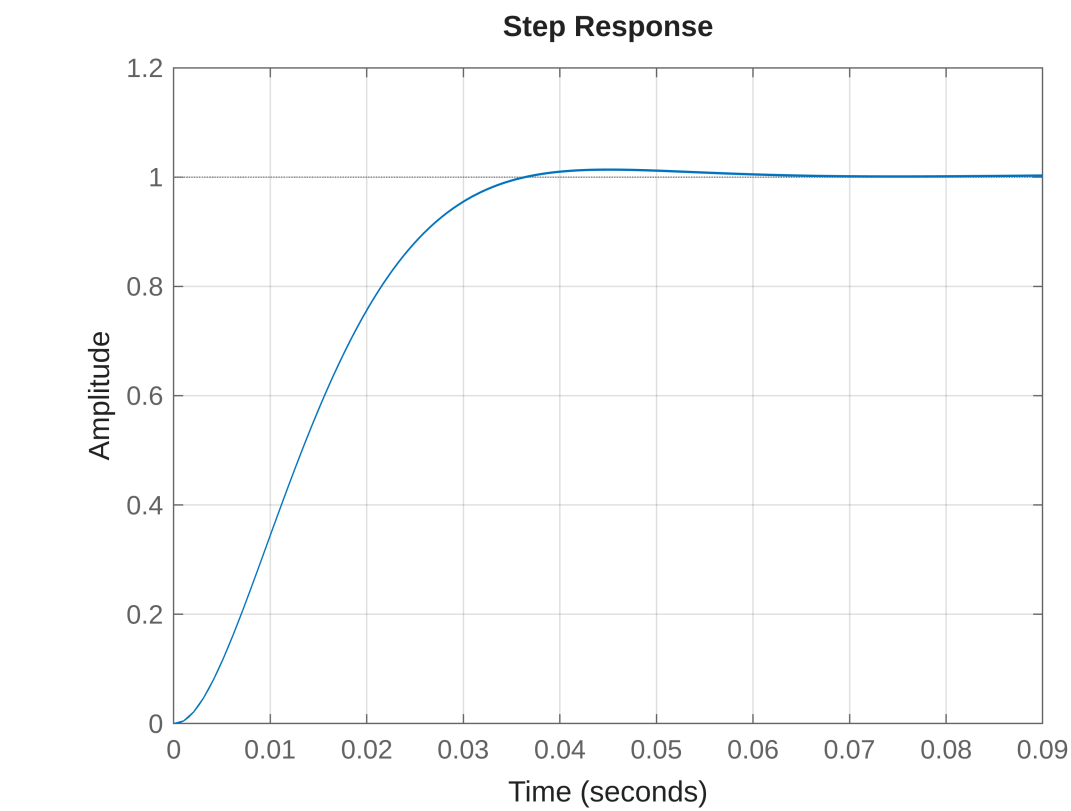
Si procede con la **risposta al gradino** e il calcolo della **sovraelongazione** per  $CL_0$ , il sistema a ciclo chiuso nominale con il controllore  $K_{inf}$ .

```
close all

bodemag(CL)
grid on
title("Bode del sistema CL (uss) ")
```



```
step(CL)
grid on
```



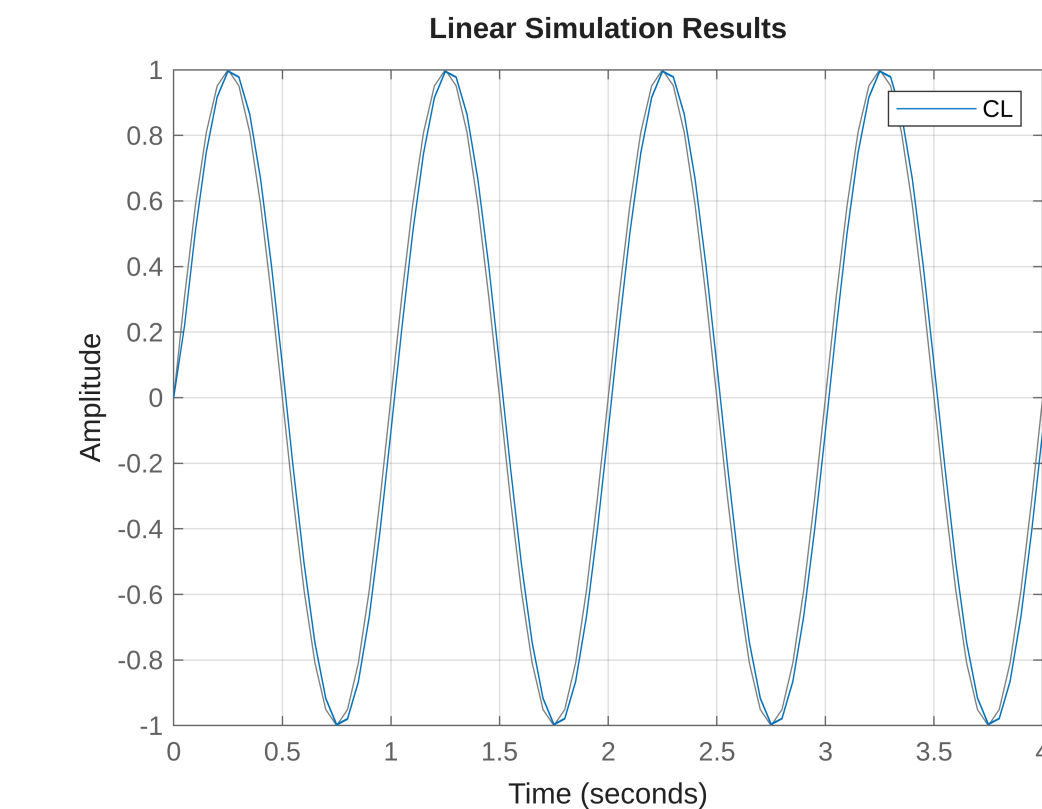
```
tfin=50;
[y_step, ~] = step(CL0, tfin);

% Calcolo overshoot
overshoot_nom = (max(y_step) - y_step(end)) / y_step(end) * 100;
fprintf('Overshoot nominale (%%) = %.2f\n', overshoot_nom); % Nominale overshoot
```

Overshoot nominale (%) = 1.46

Risposta ad una sinusoide

```
% [u,t] = gensig('sine', 20, 10, 0.05);
[u,t] = gensig('sine',1,4,0.05);
lsim(CL,u,t)
legend
grid on
```



Dal grafico della risposta a gradino del sistema incerto si possono dedurre due cose:

- il sistema incerto per i sample che il comando `step()` ha casualmente scelto nel range di incertezze, il sistema incerto risulta stabile;
- il sistema presenta dinamiche molto veloci, in qanto si porta a regime in meno di 0.1 s

Inoltre, dal clcolo effettuato, si ottiene una **sovraelongazione percentuale** dell' **1.46 %** , che è il miglior risultato ottenuto con la variazione dei pesi a discapito di un grande sforzo di controllo.

Margini di stabilità robusta

Si ottengono i margini di stabilità robusta attraverso il comando `robstab()`

```
opts = robOptions('VaryFrequency','on','Display','on');
[stabmarg,wcu,info] = robstab(CL, opts);

Computing bounds... Points completed: 67/67
Computing peak... Percent completed: 100/100
System is robustly stable for the modeled uncertainty.
-- It can tolerate up to 271% of the modeled uncertainty.
```

```
-- There is a destabilizing perturbation amounting to 271% of the modeled uncertainty.
-- This perturbation causes an instability at the frequency 114 rad/seconds.
```

```
disp(stabmarg)

LowerBound: 2.7068
UpperBound: 2.7130
CriticalFrequency: 113.8553

semilogx(info.Frequency,info.Bounds)
title('Margini di stabilità ')
grid on
ylabel('Margini')
xlabel('Frequenza')
legend('Lower bound','Upper bound')
xlim([stabmarg.CriticalFrequency-100 stabmarg.CriticalFrequency+100])
```

Dall'output si deduce che il sistema è in grado di tollerare fino al 271% delle incertezze modellate (*Lower Bound e Upper Bound*), e presenta un'instabilità alla frequenza critica di 114 rad/s; quindi il sistema risulta abbastanza **stabile in modo robusto**.

Test Worst Case System

Si va a testare come il sistema risponde nel caso peggiore di incertezze, dove ci si aspetta che il sistema sia al limite di stabilità.

```
% Test Worst Case (wcu)
close all
hold on
Gwcu = usubs(G_ss, wcu); % modello di spazio di stato incerto worst case
figure(1)

CLwcu = minreal(feedback(Gwcu * Kinf, 1));

4 states removed.

% xlim([0 10]);
% ylim([-2,2]) PER MOTIVI DIDDATTICI CHIEDERE A CAVALLO SE VUOLE CONTATTARE
% MATLAB E SCRIVERE UN ARTICOLO

step(CLwcu, 1)
step(CL,1)
grid on
legend( 'Sistema worst case', 'Sistema Nominale')
if(isstable(Gwcu))
    disp('Il sistema wcu è: stabile')
else
    disp('Il sistema wcu è: Instabile')
end

Il sistema wcu è: Instabile
```

Il sistema, come previsto, si porta al limite di stabilità

Funzioni di Sensitività

```
S_nom = minreal(feedback(1, G0_ss *Kinf)); % sensitivity

2 states removed.

T_nom = minreal(1 - S_nom); % complementary sensitivity

1 state removed.

Q_nom = minreal(Kinf * S_nom); % control sens

6 states removed.

fprintf('||S||_inf = %.3g\n', norm(S_nom,Inf));

||S||_inf = 1.24

fprintf('||T||_inf = %.3g\n', norm(T_nom,Inf));

||T||_inf = 1.01

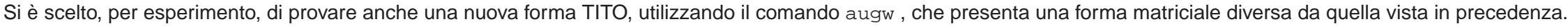
close all
% PLOT
bpp = bodeplot(S_nom,'r--', T_nom, 'g--', Q_nom, 'b--');
bpp.PhaseVisible = "off";
bpp.Title.String = "Funzioni di Sensitività";
bpp.Responses(1).Name = "S(s) ";
bpp.Responses(2).Name = "T(s)";
bpp.Responses(3).Name = "Q(s)";
bpp.LegendVisible = "on";
grid on
```



```
norm(CL, 'inf')

ans =
1.0186
```

Forma TITO P2 (augw)



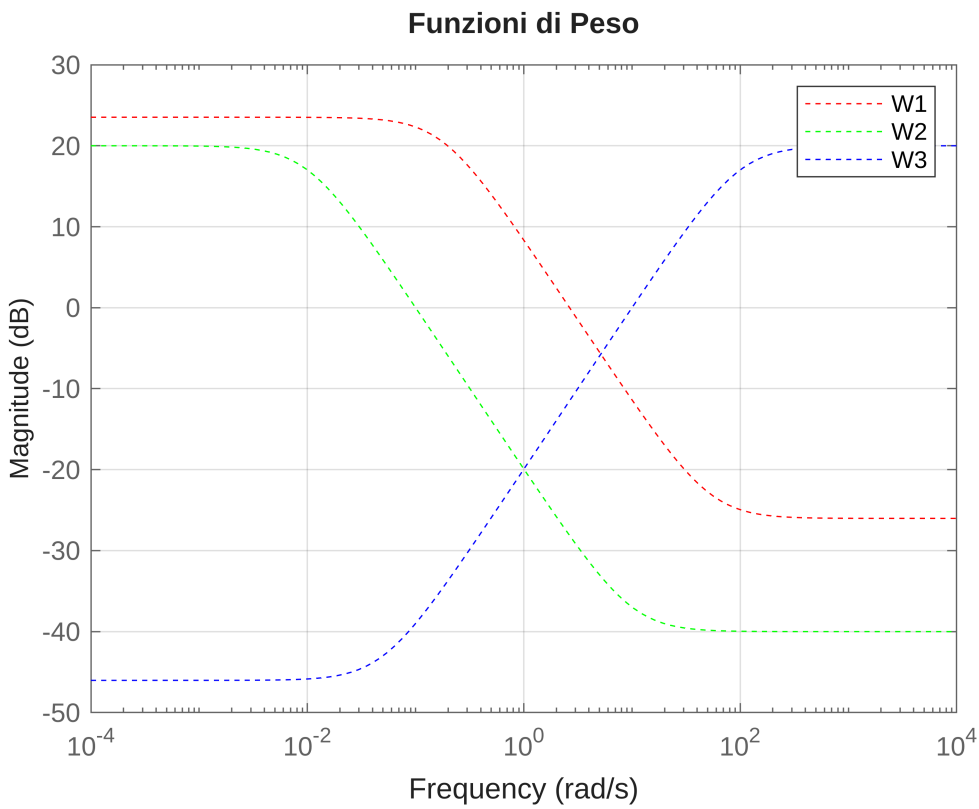
$$P(s) = \begin{bmatrix} W_1 & -W_1 G \\ 0 & W_2 \\ 0 & W_3 G \\ I & -G \end{bmatrix}$$

In questo caso:

- $W_1$  per l'inseguimento del riferimento e la reiezione dei disturbi in bassa frequenza
- $W_2$  per lo sforzo di controllo
- $W_3$  per la robustezza e l'attenuazione del rumore

```
% W1 = makeweight(10, [3 5], 0.05);
% W2 = makeweight(2, [3 1], 0.01);
W3 = makeweight(.005, 10, 10); %
```

```
close all
figure
% PLOT PESI
bw2 = boodeplot(W1, 'r--', W2, 'g--', W3, 'b--');
bw2.PhaseVisible = "off";
bw2.Title.String = "Funzioni di Peso";
bw2.Responses(1).Name = "W1 ";
bw2.Responses(2).Name = "W2";
bw2.Responses(3).Name = "W3";
bw2.LegendVisible = "on";
grid on
```



## Controllore $H_\infty$ (2)

Si progetta il nuovo controllore per la  $P2$

gamma ottenuto: 0.942

```
ans =  
1.2652
```

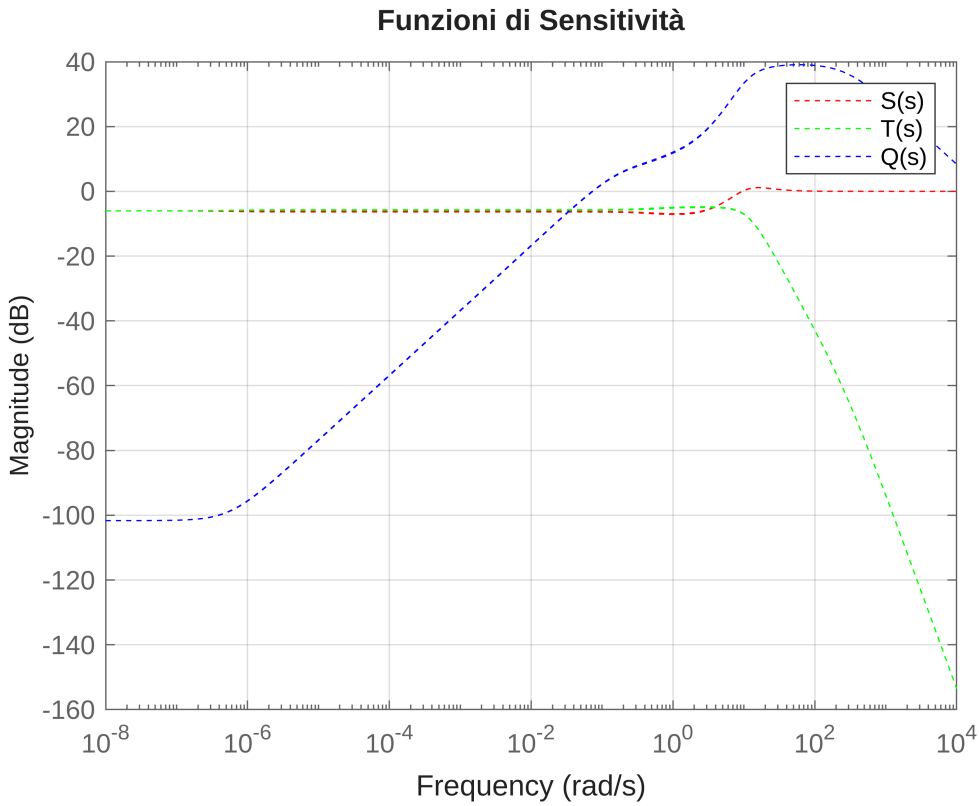
```
close all
% PLOT Sensitività
```



```

bpp = bodeplot(S_nom,'r--', T_nom, 'g--', Q_nom, 'b--');
bpp.PhaseVisible = "off";
bpp.Title.String = "Funzioni di Sensitività";
bpp.Responses(1).Name = "S(s) ";
bpp.Responses(2).Name = "T(s)";
bpp.Responses(3).Name = "Q(s)";
bpp.LegendVisible = "on";
grid on

```



**Margini di stabilità robusta (Kinf2)**

Si vanno a controllare i margini di stabilità robusta per il nuovo sistema ciclo chiuso CL2, col nuovo controllore Kinf2

```
disp('Margini di stabilità robusta:  ')
```

Margini di stabilità robusta:

```

opts = robOptions('VaryFrequency','on', 'Display','on');
[stabmarg,wcu,info] = robstab(CL_2, opts);

```

```

Computing bounds... Points completed: 62/62
Computing peak... Percent completed: 100/100
System is robustly stable for the modeled uncertainty.
-- It can tolerate up to 269% of the modeled uncertainty.
-- There is a destabilizing perturbation amounting to 269% of the modeled uncertainty.
-- This perturbation causes an instability at the frequency 8.31 rad/seconds.

```

```

semilogx(info.Frequency,info.Bounds)
title('Margini di stabilità ')
ylabel('Margini')
xlabel('Frequenza')
legend('Lower bound','Upper bound')
xlim([.1 stabmarg.CriticalFrequency+100])

```

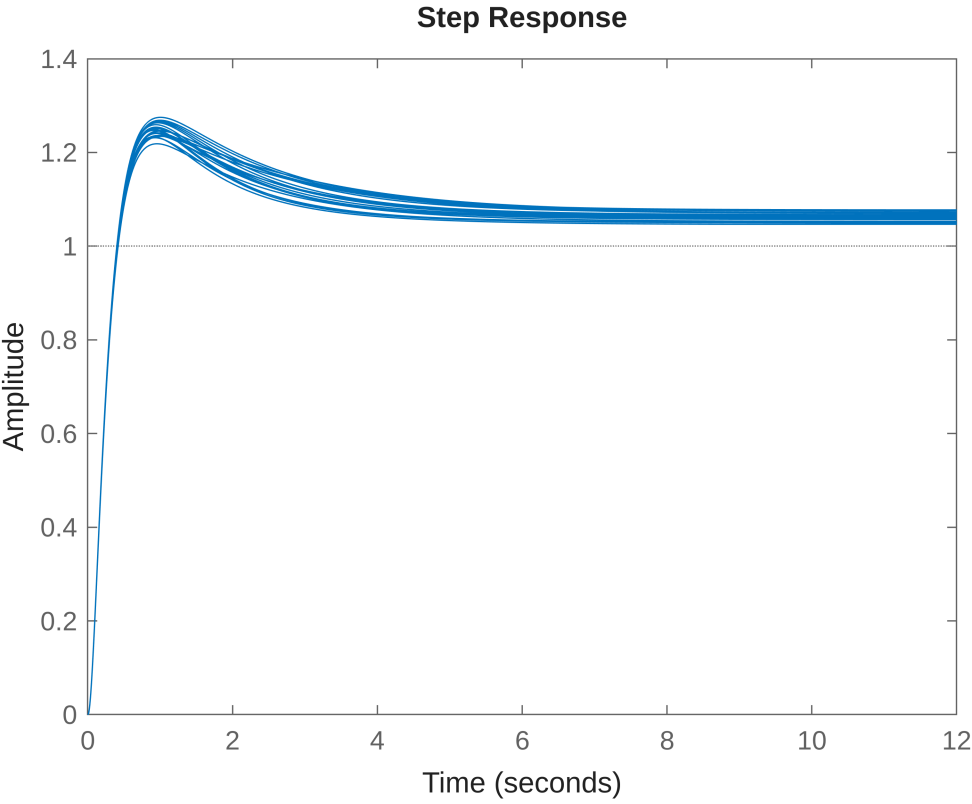
Anche in questo caso si ottengono **ottimi margini di stabilità robusta**.

Si controlla la **step response** del sistema incerto e si stima la sovraelongazione del sistema nominale per valutarne le performance (nominali)

```

close all
step(CL_2);

```



```

[y_step, ~] = step(CL_2.NominalValue, tfin);

overshoot_nom = (max(y_step) - y_step(end)) / y_step(end) * 100; % in Percentuale
fprintf('Overshoot nominale (%%) = %.2f\n', overshoot_nom);

```

Overshoot nominale (%) = 16.93

```

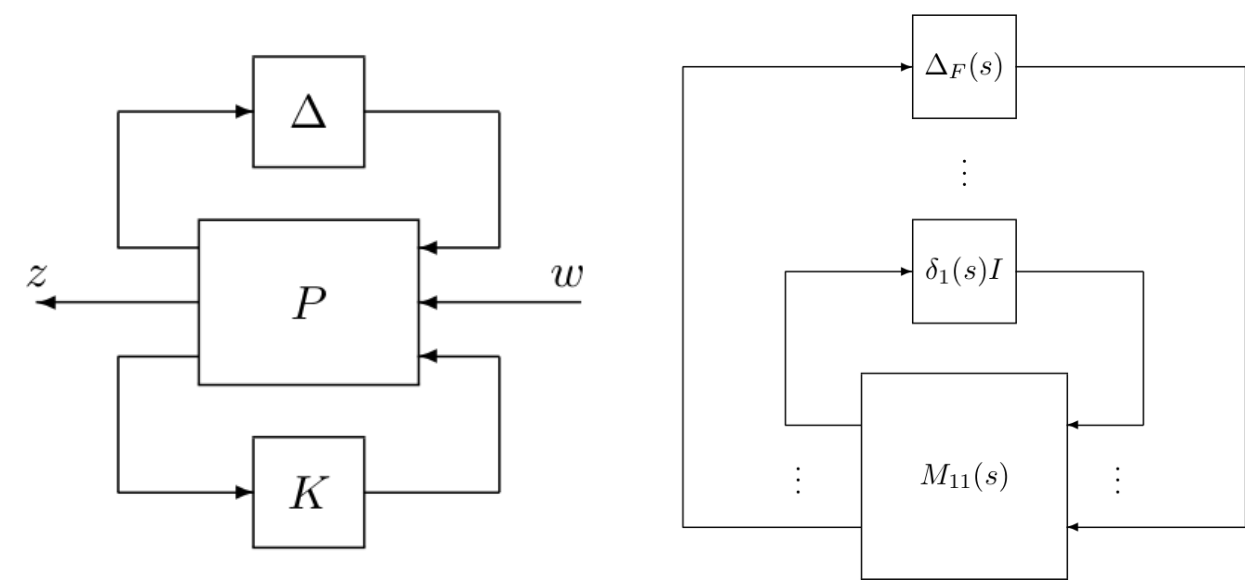
bodemag(CL_2)
grid on
title("Bode del sistema CL_2 (uss) ")

```

Con i pesi scelti si ottengono dei risultati peggiori rispetto al caso precedente, per quanto riguarda la sovraelongazione, il tempo di risposta, errore a regime.

**Analisi di Stabilità robusta con  $\mu$  – Analysis (1 e 2)**

Si procede con lo studio della stabilità robusta attraverso la stima dell' *ssv* (*Structured Singular Value*).



Attraverso il valor singolare strutturato, si controlla la stabilità robusta rispetto ad un intervallo di frequenze.

Si ha che, se  $\mu(M(j\omega)) < 1 \forall \omega$ , il sistema risulta robustamente stabile per le incertezze modellate, in particolare si procede con la stima del Lower Bound ed Upper bound di  $\mu$

Si procede inizialmente con l'analisi per il sistema CL2, con l'ausilio dei comandi: lftdata, mussv

```
% forse bisogna modificare di nuovo i pesi

close all
[M2,Delta2,BlkStruct] = lftdata(CL_2);
% verificaCompl = norm(CL_2-lft(Delta,M),'inf');
szDelta2 = size(Delta2);
M11_2 = M2(1:szDelta2(2),1:szDelta2(1));
axislimit = [-1 3]; % Esponente Range di calcolo e visualizzazione
% axislimit = [stabmarg.CriticalFrequency-1e-2 stabmarg.CriticalFrequency+1e3]; % Esponente Range di calcolo e visualizzazione

omega = logspace(axislimit(1),axislimit(2),400);

M11_g2 = frd(M11_2,omega);
mubnds2 = mussv(M11_g2,BlkStruct,'s');
mumax = [max(mubnds2(1,1).ResponseData) max(mubnds2(1,2).ResponseData)]; % max di upper e lower bound di mu
```

```
bp2 = bodeplot(mubnds2(1,1),mubnds2(1,2));
bp2.PhaseVisible = 'off';
bp2.MagnitudeUnit = 'abs';
bp2.XLimits = [10^axislimit(1),10^axislimit(2)];
bp2.XLabel.String = "Frequency";
bp2.YLabel.String(1) = "Mu upper/lower bounds";
bp2.Title.String = ("Mu plot of robust stability margins ");
legend("Mu upper bounds", "Mu lower bounds")
grid on
```



```
fprintf('Max Mu upper bound = %.3g\n Min Mu lower bound = %.3g\n', mumax(1), mumax(2));

Max Mu upper bound = 0.372
Min Mu lower bound = 0.372
```

Si evince dal grafico che il valore del  $\mu$  rimane inferiore a 1, quindi garantendo la stabilità robusta (anche in questo caso) per le incertezze modellate.

### Analisi stabilità Robusta CL (1)

Si procede ora con l'analisi di stabilità robusta, utilizzando lo stesso metodo cui sopra, per il sistema CL

```
close all
% P1
[M1,Delta1,BlkStruct] = lftdata(CL);
% verificaCompl = norm(CL_2-lft(Delta,M),'inf');
szDelta1 = size(Delta1);
M11_1 = M1(1:szDelta1(2),1:szDelta1(1));
axislimit = [-1 3]; % Esponente Range di calcolo e visualizzazione
% axislimit = [stabmarg.CriticalFrequency-1e-2 stabmarg.CriticalFrequency+1e3]; % Esponente Range di calcolo e visualizzazione

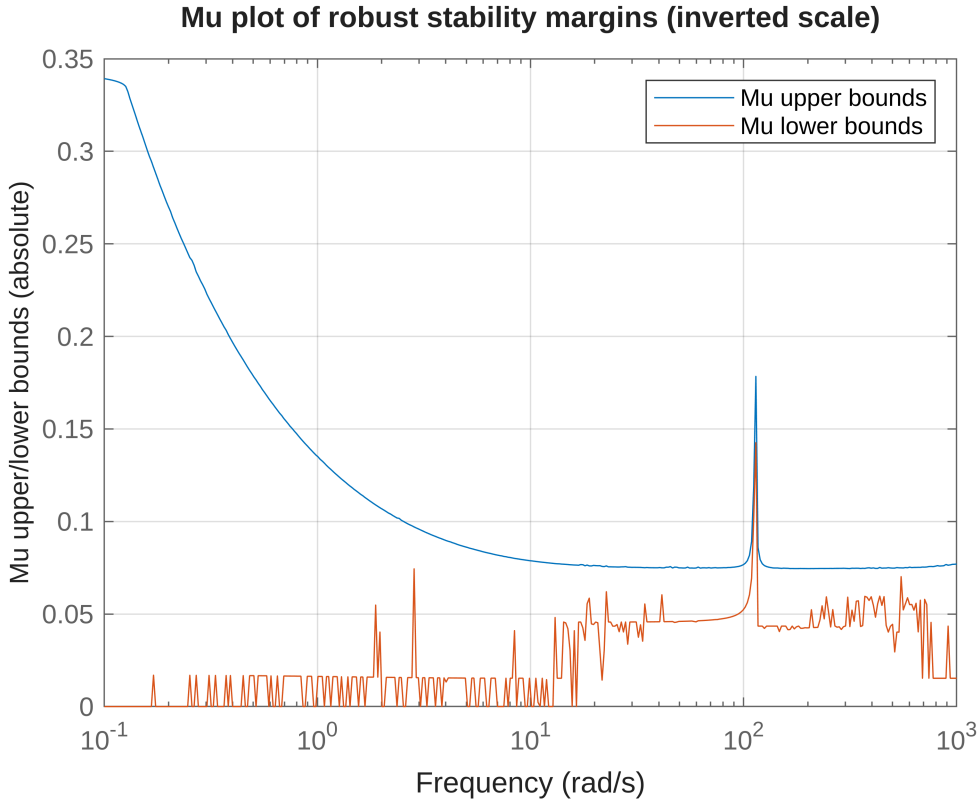
omega = logspace(axislimit(1),axislimit(2),400);

M11_g1 = frd(M11_1,omega);
mubnds1 = mussv(M11_g1,BlkStruct,'s');
mumax = [max(mubnds1(1,1).ResponseData) max(mubnds1(1,2).ResponseData)]; % max di upper e lower bound di mu
```

```
bp1 = bodeplot(mubnds1(1,1),mubnds1(1,2));
bp1.PhaseVisible = 'off';
bp1.MagnitudeUnit = 'abs';
bp1.XLimits = [10^axislimit(1),10^axislimit(2)];
bp1.XLabel.String = "Frequency";
bp1.YLabel.String(1) = "Mu upper/lower bounds";
```



```
bpl.Title.String = "Mu plot of robust stability margins (inverted scale)";
grid on;
legend("Mu upper bounds", "Mu lower bounds");
```



```
fprintf('Max Mu upper bound = %.3g\n', mumax(1));
```

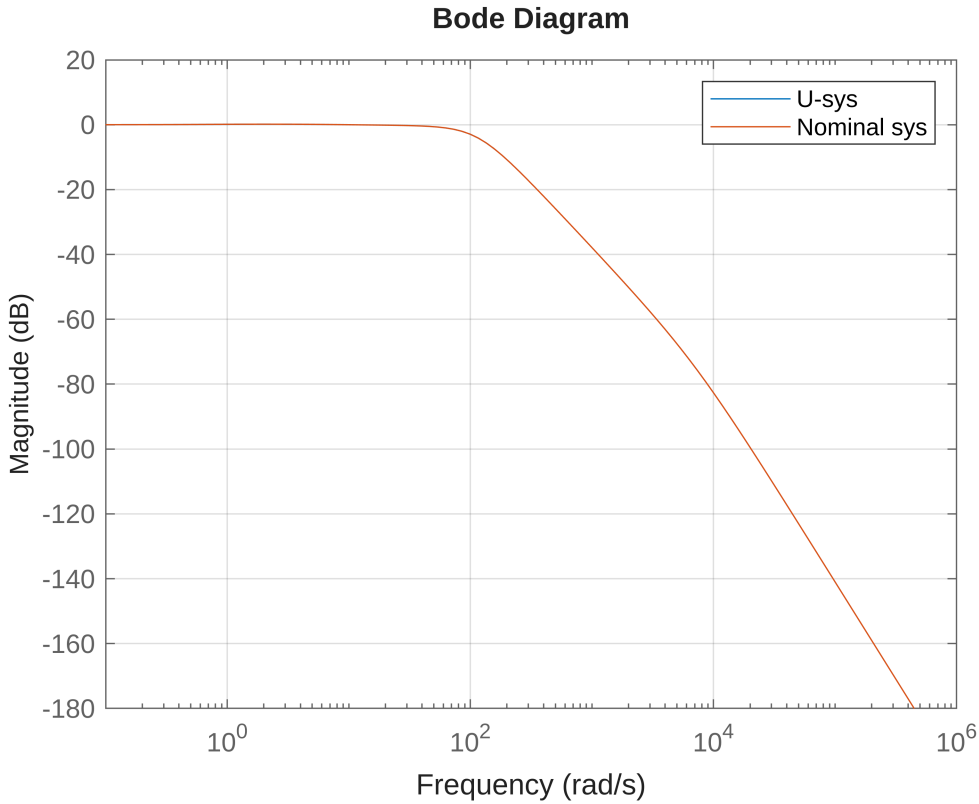
Max Mu upper bound = 0.339

```
fprintf('Max Mu lower bound = %.3g\n', mumax(2));
```

Max Mu lower bound = 0.143

Anche nel caso di CL1, si ha che il valore del `ssv` rimane inferiore a 1, rispetto alle incertezze modellate

```
bodemag(CL, CL.NominalValue)
legend('U-sys', 'Nominal sys')
grid on
```



### Analisi di prestazioni robuste (robgain)

Dopo l'analisi di stabilità robusta, è stata condotta un'analisi di prestazioni robuste mediante la funzione `robgain`.

Questa funzione calcola i margini di performance robusta per un sisema incerto, le quali sono misurate sottoforma di massimo valor singolare, ed è relativo ad un livello di incertezza specificato (nel nostro caso 2).

Verranno analizzati i margini per entrambi i sistemi (CL, CL2)

```
[perfmarg1,wcu1, info1] = robgain(CL, 2, opts)
```

```
Computing bounds... Points completed: 67/67
Computing peak... Percent completed: 100/100
The performance level 2 is robust to the modeled uncertainty.
-- The gain remains below 2 for up to 211% of the modeled uncertainty.
-- There is a bad perturbation amounting to 271% of the modeled uncertainty.
-- This perturbation causes a gain of 2 at the frequency 71.4 rad/seconds.
perfmarg1 = struct with fields:
    LowerBound: 2.1138
    UpperBound: 2.7078
    CriticalFrequency: 71.4026
wcu1 = struct with fields:
    all_u: -0.3952
    a2l_u: -4.9754
    b1_u: 9.3858
info1 = struct with fields:
    Model: 1
    Frequency: [69x1 double]
    Bounds: [69x2 double]
    WorstPerturbation: [69x1 struct]
    Sensitivity: [1x1 struct]
```

```
[perfmarg2,wcu2, info2] = robgain(CL_2, 2, opts)
```

```
Computing bounds... Points completed: 62/62
Computing peak... Percent completed: 100/100
The performance level 2 is robust to the modeled uncertainty.
-- The gain remains below 2 for up to 258% of the modeled uncertainty.
-- There is a bad perturbation amounting to 258% of the modeled uncertainty.
-- This perturbation causes a gain of 2 at the frequency 3.73 rad/seconds.
perfmarg2 = struct with fields:
    LowerBound: 2.5772
    UpperBound: 2.5821
    CriticalFrequency: 3.7308
wcu2 = struct with fields:
    all_u: -0.0200
    a2l_u: -4.9712
    b1_u: 0.5382
info2 = struct with fields:
    Model: 1
    Frequency: [64x1 double]
    Bounds: [64x2 double]
    WorstPerturbation: [64x1 struct]
    Sensitivity: [1x1 struct]
```

```
CLmax = usubs(CL,wcu1);
```

```
getPeakGain(CLmax,1e-6)
```

```
ans =  
2.0004
```

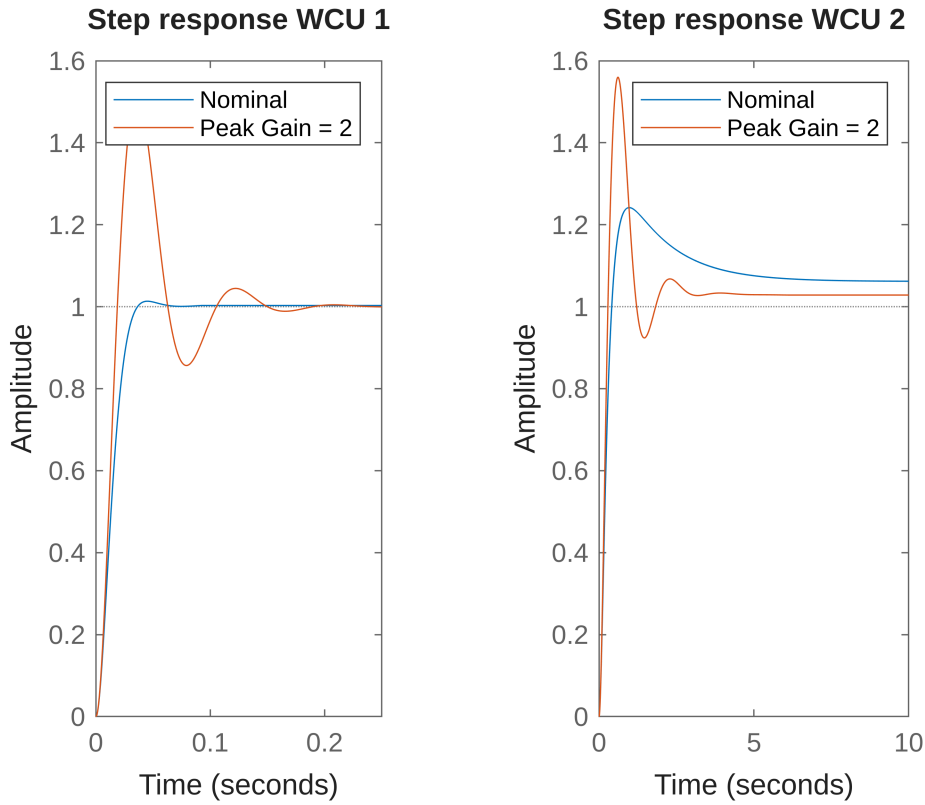
Examine the disturbance rejection of the system with these values.

```
close all  
subplot(1, 2, 1)  
grid on  
step(CL.NominalValue,CLmax)  
title("Step response WCU 1")  
legend('Nominal','Peak Gain = 2')
```

```
CLmax2 = usubs(CL_2,wcu2);  
getPeakGain(CLmax2,1e-6)
```

```
ans =  
1.9999
```

```
subplot(1, 2, 2)  
grid on  
step(CL_2.NominalValue,CLmax2)  
title("Step response WCU 2")  
legend('Nominal','Peak Gain = 2')
```



Tentativo di  $\mu$ -synthesis (extra)

Questo controllore viene sviluppato con una D-K iteration, viene progettato, per ogni iterazione un controllore  $H_\infty$ , restringendo sempre di più (utilizzando `uscale`) il range di incertezze per le quali valutare la robustezza con il valore singolare strutturato

```
% TEST NEW  
% mu-sintesi  
  
[Kmu, rp ] = musyn(P2, 1,1);
```

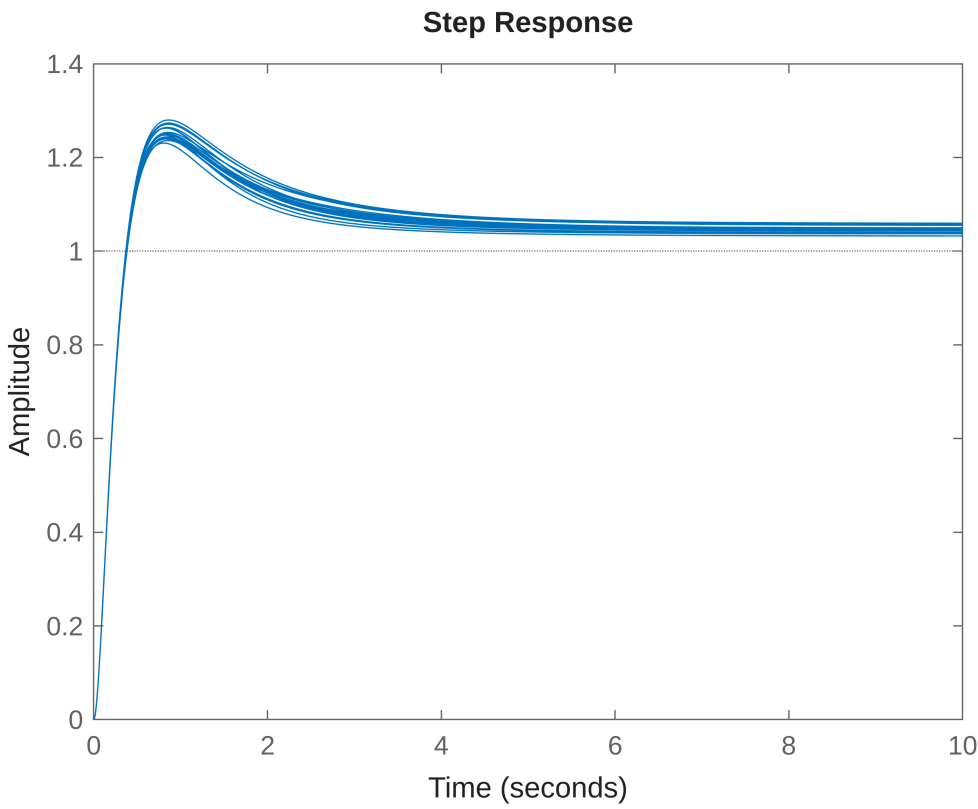
D-K ITERATION SUMMARY:				
Robust performance				Fit order
Iter	K Step	Peak MU	D Fit	D
1	20.7	3.719	3.73	12
2	1.112	1.109	1.116	12
3	1.024	1.023	1.032	18
4	1.018	1.016	1.025	14
5	1.021	1.019	1.028	14

Best achieved robust performance: 1.02

```
Kmu=minreal(Kmu);
```

3 states removed.

```
CLmu = feedback(G_ss*(Kmu),1);  
CLmu_nom=CLmu.NominalValue;  
close all  
step(CLmu)
```



```
[y_step,t] = step(CLmu_nom,50);  
overshoot_nom = (max(y_step)-y_step(end))/y_step(end)*100;  
fprintf('Overshoot nominale = %.2f %%\n', overshoot_nom);
```

Overshoot nominale = 19.57 %

```
% Robust stability  
opts = robOptions('VaryFrequency','on','Display','on');  
[stabmarg_mu,wcu_mu,info_mu] = robstab(CLmu, opts);
```

```
Computing bounds... Points completed: 52/52
Computing peak... Percent completed: 100/100
System is robustly stable for the modeled uncertainty.
-- It can tolerate up to 269% of the modeled uncertainty.
-- There is a destabilizing perturbation amounting to 269% of the modeled uncertainty.
-- This perturbation causes an instability at the frequency 8.29 rad/seconds.
```

```
fprintf('Robust Stability Margin LowerBound = %.2f (%.0f%% tolleranza)\n',...
        stabmarg_mu.LowerBound, (stabmarg_mu.LowerBound-1)*100);
```

Robust Stability Margin LowerBound = 2.69 (169% tolleranza)

```
% μ-analysis (Structured Singular Value)
[Mmu,Delta_mu,BlkStruct_mu] = lftdata(CLmu);
omega = logspace(-2,3,200);
M11_mu = Mmu(1:size(Delta_mu,2),1:size(Delta_mu,1));
mubnds = mussv(frd(M11_mu,omega),BlkStruct_mu,'s');
mu_upper = max(mubnds(1,1).ResponseData);
mu_lower = max(mubnds(1,2).ResponseData);
fprintf('Max μ upper bound = %.3f\n', mu_upper);
```

Max μ upper bound = 0.372

```
fprintf('Max μ lower bound = %.3f\n', mu_lower);
```

Max μ lower bound = 0.371

```
% Robust performance
[perfmarg_mu,wcu_mu,~] = robgain(CLmu,2,opts);
```

```
Computing bounds... Points completed: 52/52
Computing peak... Percent completed: 100/100
The performance level 2 is robust to the modeled uncertainty.
-- The gain remains below 2 for up to 257% of the modeled uncertainty.
-- There is a bad perturbation amounting to 258% of the modeled uncertainty.
-- This perturbation causes a gain of 2 at the frequency 3.85 rad/seconds.
```

```
fprintf('Robust Performance Margin Upepr bound (livello=2) = %.3f\n', perfmarg_mu.UpperBound);
```

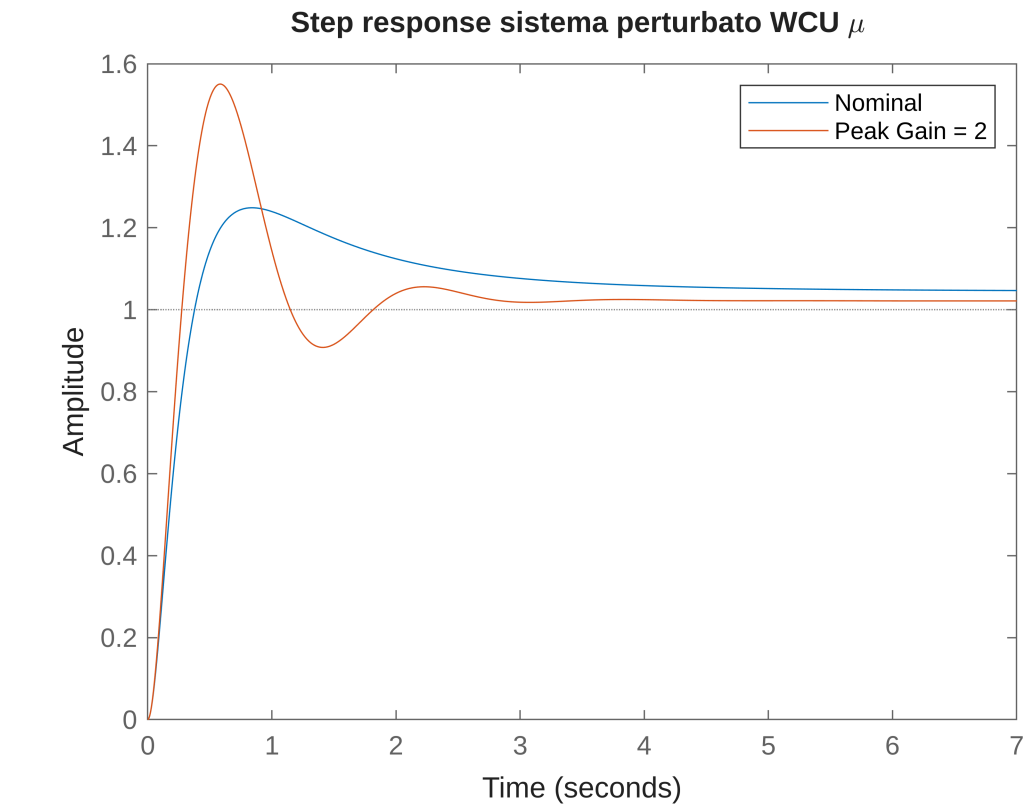
Robust Performance Margin Upepr bound (livello=2) = 2.575

Caso perturbazioni con peak 2

```
CLmumax = usubs(CLmu,wcu_mu);
getPeakGain(CLmumax,1e-6)
```

ans =  
1.9999

```
close all
figure
grid on
step(CLmu.NominalValue,CLmumax)
title("Step response sistema perturbato WCU \mu ")
legend('Nominal','Peak Gain = 2')
```



Riduzione Ordine Controllore (  $\mu$  )

È stata fatta una prova per ridurre l'ordine del controllore  $\mu$  al terzo ordine, visto l'ordine elevato del precedente (22° ordine)

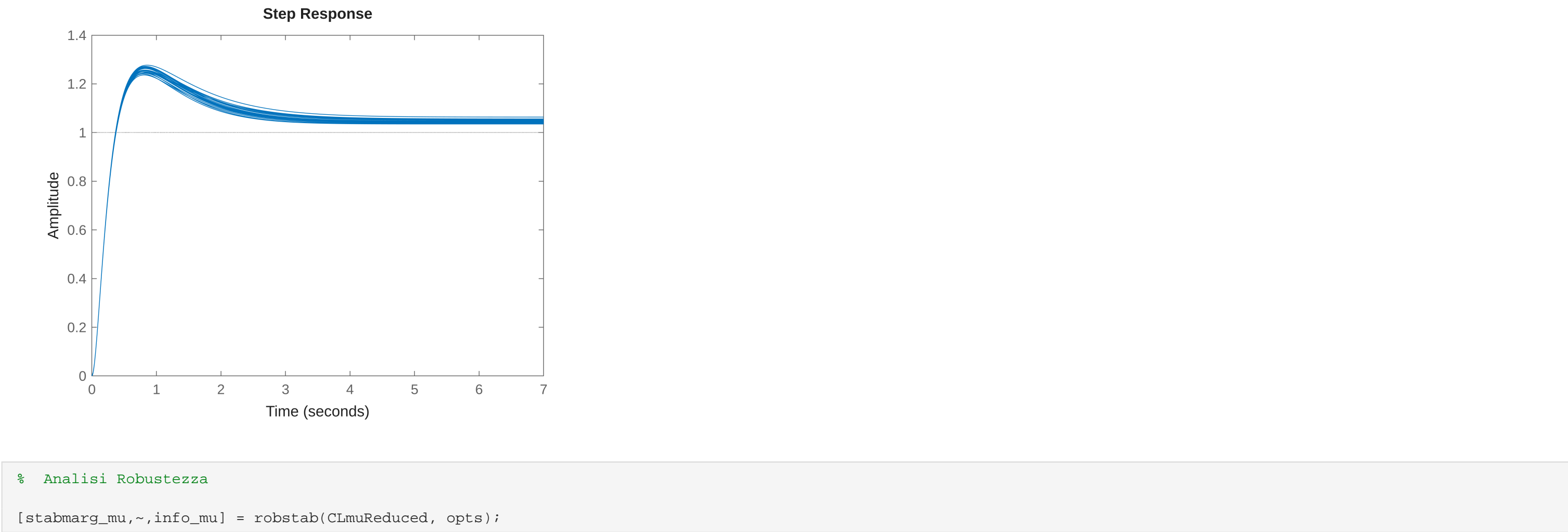
```
C0 = tunableSS('C0',3,1,1);
CL0 = lft(P2,C0);
[CLmu2,CLmuperf,info] = musyn(CL0);
```

D-K ITERATION SUMMARY:				
Robust performance				Fit order
Iter	K Step	Peak MU	D Fit	D
1	20.7	9.43	9.607	16
2	1.09	1.049	1.06	12
3	1.033	1.029	1.035	12
4	1.033	1.027	1.033	12
5	1.033	1.026	1.033	12

Best achieved robust performance: 1.03

```
Kmu2 = getBlockValue(CLmu2, 'C0');
```

```
CLmuReduced = feedback(G_ss*Kmu2,1); % ciclo chiuso nominale
step(CLmuReduced)
```



Computing bounds... Points completed: 47/47  
Computing peak... Percent completed: 100/100  
System is robustly stable for the modeled uncertainty.  
-- it can tolerate up to 268% of the modeled uncertainty.  
-- There is a destabilizing perturbation amounting to 269% of the modeled uncertainty.  
-- This perturbation causes an instability at the frequency 8.34 rad/seconds.

```
fprintf('Robust Stability Margin LowerBound = %.2f (%.0f%% tolleranza)\n',...
       stabmarg_mu.LowerBound, (stabmarg_mu.LowerBound-1)*100);
```

Robust Stability Margin LowerBound = 2.68 (168% tolleranza)

```
% μ-analysis (Structured Singular Value)
[Mmu,Delta_mu,BlkStruct_mu] = lftdata(CLmuReduced);
omega = logspace(-2,3,200);
M11_mu = Mmu(1:size(Delta_mu,2),1:size(Delta_mu,1));
mubnds = mussv(frd(M11_mu,omega),BlkStruct_mu,'s');
mu_upper = max(mubnds(1,1).ResponseData);
mu_lower = max(mubnds(1,2).ResponseData);
fprintf('Max μ upper bound = %.3f\n', mu_upper);
```

Max  $\mu$  upper bound = 0.372

```
fprintf('Max μ lower bound = %.3f\n', mu_lower);
```

Max  $\mu$  lower bound = 0.371

```
% Robust performance
[perfmarg_mu,wcu_mu,~] = robgain(CLmuReduced,2,opts);
```

Computing bounds... Points completed: 47/47  
Computing peak... Percent completed: 100/100  
The performance level 2 is robust to the modeled uncertainty.  
-- The gain remains below 2 for up to 257% of the modeled uncertainty.  
-- There is a bad perturbation amounting to 257% of the modeled uncertainty.  
-- This perturbation causes a gain of 2 at the frequency 3.83 rad/seconds.

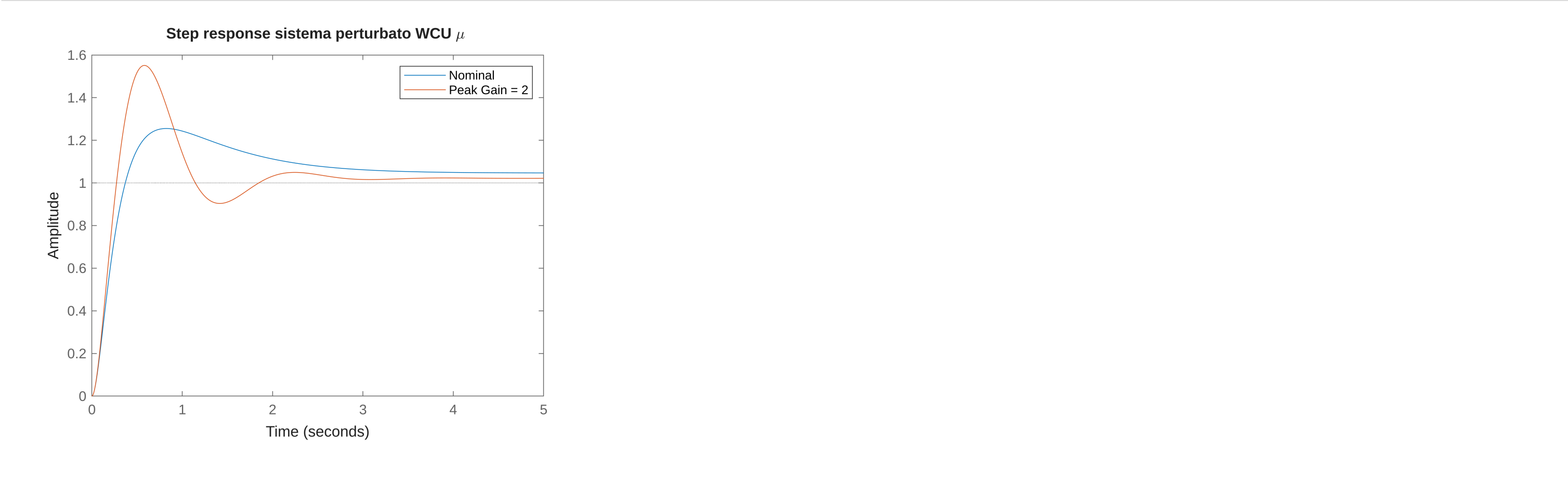
```
fprintf('Robust Performance Margin Upepr bound (livello=2) = %.3f\n', perfmarg_mu.UpperBound);
```

Robust Performance Margin Upepr bound (livello=2) = 2.572

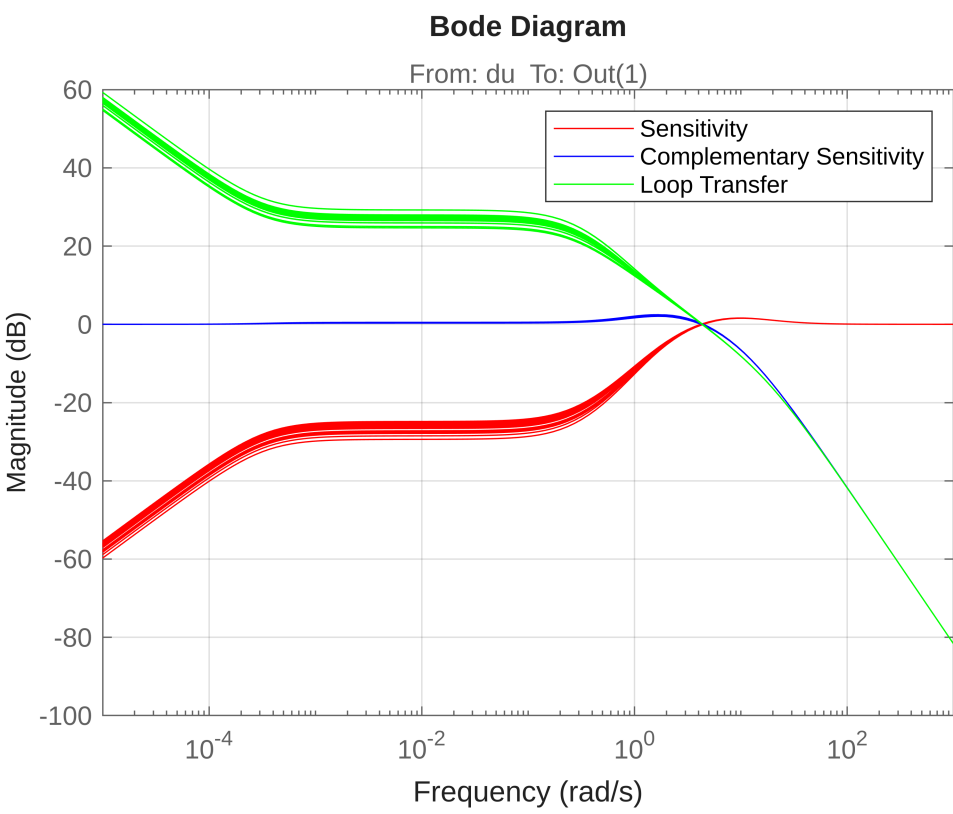
```
CLmumax = usubs(CLmuReduced,wcu_mu);
getPeakGain(CLmumax,1e-6)
```

ans =  
2.0000

```
close all
figure
grid on
step(CLmuReduced.NominalValue,CLmumax)
title("Step response sistema perturbato WCU \mu ")
legend('Nominal','Peak Gain = 2')
```



```
loops = loopsens(G_ss,Kmu2);
bodemag(loops.Si,'r',loops.Ti,'b',loops.Li,'g')
legend('Sensitivity','Complementary Sensitivity','Loop Transfer')
grid on
```



Riferimenti:

- MathWorks, Inc. , "*Robust Control Toolbox User's Guide*" ( [https://it.mathworks.com/help/pdf\\_doc/robust/robust\\_ug.pdf](https://it.mathworks.com/help/pdf_doc/robust/robust_ug.pdf))
- Examples: "[Robust Control of Active Suspension](#)" , "[Robust Stability, Robust Performance, and Mu Analysis](#)".
- Qiu, Li. (2002). Essentials of robust control: Kemin Zhou, John C. Doyle Prentice-Hall, Englewood Cliffs, NJ, 1998, ISBN: 0-13-790874-1.. Automatica. 38. 910-912.